# 6.7-Dihydroxycumarin (Aesculetin) als Substrat der Catechol-O-Methyltransferase

6,7-Dihydroxycoumarin (Aesculetin) as a Substrate for Catechol-O-methyltransferase

D. Müller-Enoch, E. Seidl und H. Thomas

Abteilung für Biochemie I. Universität Ulm

(Z. Naturforsch. 31 c. 280-284 [1976]; eingegangen am 27. Februar/18. März 1976)

Catechol-O-methyltransferase, Methylation of 6,7-Dihydroxycoumarin, Aesculetin

6,7-Dihydroxycoumarin (Aesculetin) was found to be a substrate of rat liver Catechol-O-

methylfransferase (COMT) (EC 2.1.1.6).

Incubation of this substrate with S-Adenosyl-L-[methyl-14C] methionine and/or S-Adenosylmethionin-hydrogensulfate in the presence of COMT yields the highly fluorescent compounds 7-hydroxy-6-methoxycoumarin (Scopoletin) and 6-hydroxy-7-methoxycoumarin (Isoscopoletin) in the ration of about 2:1. The O-methylated prducts obtained from Aesculetin were identified after separation by thin layer chromatographpy mainly by the reversed isotope dilution technique.

The fluorescence of the isolated methylethers was proportional to concentration within the range from  $10^{-5}-10^{-7}$  M. A reciprocal plot of activity versus substrate concentration gives a  $K_m$ 

of  $1 \times 10^{-6}$  M.

Die Catechol-O-Methyltransferase (COMT) gehört zu den wichtigsten Enzymen des Stoffwechsels der Catecholamine. Das Enzym überträgt eine Methylgruppe vom S-Adenosylmethionin auf eine der beiden Hydroxylgruppen von Adrenalin<sup>1</sup>, Noradrenalin<sup>2</sup>, Dopamin<sup>2</sup> und anderen Brenzkatechinderivaten 2-5. In einer Untersuchung über neue potentielle Substrate für das Enzym wurde auch 6.7-Dihydroxycumarin (Aesculetin) getestet.

Es wurde gefunden, daß aus Aesculetin in Gegenwart von S-Adenosylmethionin durch die katalytische Wirksamkeit der COMT die Methylierungsprodukte 7-Hydroxy-6-methoxycumarin (Scopoletin) und 6-Hydroxy-7-methoxycumarin (Isoscopoletin) entstehen. Bei diesen Methylierungsprodukten handelt es sich um stark fluoreszierende Substanzen, die nach dünnschichtchromatographischer Auftrennung fluorometrisch bestimmt werden können.

#### Material und Methoden

Substanzen und Enzympräparation

Scopoletin (7-Hydroxy-6-methoxycumarin) (Fluka AG, Buchs), Isoscopoletin (6-Hydroxy-7-methoxycumarin) (C. Roth, Karlsruhe), S-Adenosylmethionin-hydrogensulfat (Boehringer Mannheim GmbH) und S-Adenosyl-L-[methyl-14C] methionin

Sonderdruckanforderungen an Prof. Dr. H. Thomas, Abteilung für Biochemie I, Univertät Ulm, Oberer Eselsberg N 26, D-7900 Ulm-Donau.

(Radiochemical Center, Amersham) mit einer spezifischen Aktivität von 60 mCi/mmol wurden in Form von Handelsprodukten verwendet. Aesculetin (6.7-Dihydroxycumarin) (C. Roth, Karlsruhe) wurde aus Aceton/Methylenchlorid umkristallisiert. Catechol-O-Methyltransferase wurde nach Axelrod und Tomchick 2 aus Rattenleber (männliche Sprague-Dawlev-Ratten) bis einschließlich des Dialyse-Schritts auf das 11-fache angereichert, die dialysierte Lösung mit 0.02 M Phosphatpuffer (pH = 6.9) bis zu einer Konzentration von 1 mg Protein/ml verdünnt. Die Proteinbestimmung erfolgte nach Lowry 6.

#### Lösungen

0.1 M Tris/HCl-Puffer (pH = 7.6) ; 0.001 M Aesculetin in 0.1 M Tris/HCl-Puffer (pH = 7.6); 0.5 M MgCl<sub>2</sub>; 0,001 M S-Adenosylmethionin-hydrogensulfat in 0.1 M Tris/HCl (pH = 7.6); S-Adenosyl-L-[methyl-14C] methionin, spez. Aktivität 60 mCi/ mmol; 0,83  $\mu$ mol/ml H<sub>2</sub>SO<sub>4</sub> (pH = 2,5), Enzympräparation (s. o.).

Zur Identifizierung der Methylierungsprodukte

dienten die folgenden Versuchsansätze:

Ansatz I: 0,1 \(\mu\)mol Aesculetin; 0,2 \(\mu\)mol S-Adenosylmethionin-hydrogensulfat; 10 µmol MgCl<sub>2</sub>; 70 μmol Tris/HCl und COMT-Präparation (entsprechend 0.4 mg Protein). Gesamtvolumen: 1,5 ml.

Ansatz II: 0,1 \(\mu\)mol Aesculetin; 0,1 \(\mu\)mol S-Adenosylmethionin-hydrogensulfat; 0,1 μmol S-Adenosyl-L-[methyl-14C]methionin; 10 µmol  ${\rm MgCl_2}$ ; 70  $\mu{\rm mol}$  Tris/HCl und COMT-Präparation (entsprechend 0,4 mg Protein). Gesamtvolumen: 1,5 ml.

Die Ansätze wurden 30 min in Schliffzentrifugengläsern bei 37 °C im Schüttelthermostaten inkubiert, die Reaktion durch Zusatz von je 0,5 ml 0,5 m HCl unterbrochen. Die Extraktion erfolgte dreimal mit 5 ml Chloroform.

## Dünnschichtchromatographie

Die dünnschichtchromatographische Auftrennung erfolgte auf DC-Fertigplatten Kieselgel 60 (20×20 cm, 0,25 mm; Merck AG, Darmstadt). Im Falle von Ansatz I wurde je 1/3 des in Aceton gelösten Extrakttrockenrückstandes strichförmig (1 cm) aufgetragen und dreifach über eine Strecke von 15 cm in den Fließmittelsystemen Benzol/Eisessig/Wasser (2:2:1) (obere Phase) (A), Toluol/Äthylformiat/Ameisensäure (5:4:1) (B) und Benzol/Dioxan/Eisessig (90:25:4) (C) chromatographiert. Die Lokalisation der getrennten Substanzen erfolgte visuell unter UV-Licht.

Im Falle von Ansatz II wurde der gesamte Extrakttrockenrückstand strichförmig (3 cm) aufgetragen und durch dreimalige Chromatographie in System A aufgetrennt.

# Identifizierung

Im Radiodünnschichtchromatogramm (Dünnschichtscanner der Firma Berthold, LB 2723) zeigte sich ein Gipfel (Substanz I) in Höhe des authentischen Scopoletins und ein weiterer (Substanz II) in Höhe des Isoscopoletins. Die den Substanzen I und II entsprechenden Areale wurden mit Chloroform getrennt eluiert, die jeweiligen Eindampfrückstände wie oben beschrieben in System A rechromatographiert.

Die radioaktiven Zonen (Substanz I, Substanz II) wurden erneut von der Platte geschabt und mit Chloroform eluiert. Im Falle von Substanz I wurde 1/10 des Eluattrockenrückstandes mit 13 mg authentischem Scopoletin, im Falle von Substanz II 1/5 des Eluattrockenrückstandes mit 14 mg authentischem Isoscopoletin als "carrier" versetzt. Die spezifische Aktivität (dpm/µmol) wurde jeweils berechnet und nach Umkristallisation des Produkt-"carrier"-Gemisches aus Aceton/Petroläther neu bestimmt.

Die Fluoreszenzspektren wurden mit einem Fluoreszenz-Spektrophotometer Fluorispec Modell SF-100 (Baird-Atomic) gemessen. Zur Messung der Anregungs- und Fluoreszenzmaxima von Scopoletin und Isoscopoletin wurden  $10^{-5}$  M Lösungen in Äthanol (Uvasol®), zur Messung von Metanephrinhydrochlorid eine  $10^{-5}$  M Lösung in 0,1 N HCl eingesetzt. Die angegebenen Fluoreszenzintensitäten

der authentischen Substanzen stellen relative Werte dar: die Fluoreszenzintensität der Scopoletin-Lösung wurde gleich 100 gesetzt. Die Anregung der Substanzen erfolgte im jeweiligen Anregungsmaximum.

## Kinetische Untersuchungen

Zur Messung der Methylierungsrate des Substrates in Abhängigkeit von der Inkubationszeit dienten Ansätze folgender Zusammensetzung: 0,2  $\mu$ mol Aesculetin, 0,2  $\mu$ mol S-Adenosylmethionin-hydrogensulfat, 10  $\mu$ mol MgCl $_2$ , 40  $\mu$ mol Tris/HCl und COMT-Präparation entsprechend 0,1 mg Protein; Gesamtvolumen: 1 ml. Die Reaktionen wurden nach bestimmten Zeitabständen (s. Abb. 3) durch Zugabe von je 0,5 ml 0,5 m HCl unterbrochen. Die Extraktion erfolgte wie oben beschrieben mit Chloroform. Nach dünnschichtchromatographischer Auftrennung der Eluattrockenrückstände in System A ließen sich die Methylierungsprodukte eluieren und fluorometrisch bestimmen.

Zur Bestimmung des  $K_m$ -Wertes dienten Ansätze mit Aesculetin-Mengen von 0.8-30 nmol, 0.1 bzw. 0.03 bzw. 0.5  $\mu$ Mol S-Adenosylmethionin-hydrogensulfat, 10  $\mu$ mol MgCl<sub>2</sub>, 0.2 ml COMT-Lösung (entsprechend 0.2 mg Protein), die mit 0.1 M Tris/HCl-Lösung ad 1 ml Gesamtvolumen aufgefüllt wurden. Die Bestimmung der Methylierungsprodukte erfolgte nach einer Inkubationszeit von 2 min wie oben beschrieben.

Zur Messung der Methylierungsrate des Substrats in Abhängigkeit von der Enzymmenge dienten Ansätze mit Enzymmengen entsprechend 0.01-0.2 mg Protein,  $0.2~\mu$ mol Aesculetin,  $0.2~\mu$ mol S-Adenosylmethionin-hydrogensulfat,  $10~\mu$ mol MgCl $_2$ , die mit  $0.1~\mathrm{M}$  Tris/HCl-Lösung ad  $1~\mathrm{m}$ l Gesamtvolumen aufgefüllt wurden. Die Reaktionszeit betrug  $30~\mathrm{min}$ . Die Methylierungsprodukte wurden nach dünnschichtchromatographischer Isolierung fluorometrisch bestimmt.

#### **Ergebnisse und Diskussion**

Nach dünnschichtchromatographischer Auftrennung eines Aliquots des Extrakttrockenrückstandes von Ansatz I in den Systemen A, B und C ließen sich visuell unter UV-Licht jeweils außer dem Substrat zwei Reaktionsprodukte I und II lokalisieren, deren  $R_F$ -Werte mit denen von authentischem Scopoletin bzw. Isoscopoletin übereinstimmen (vgl. Tab. I).

Aus Tab. II geht hervor, daß sich mit Hilfe der umgekehrten Isotopenverdünnungstechnik <sup>7</sup> (Ansatz II s. o.) Substanz I als Scopoletin, Substanz II als Isoscopoletin identifizieren ließ, da zwischen den

Tab. I. Dünnschichtchromatographische Identifizierung der nach Inkubation von Aesculetin mit einer COMT-Präparation entstandenen Methylierungsprodukte I und II. Es wurde jeweils eine dreimalige Chromatographie auf DC-Fertigplatten Kieselgel (20 × 20 cm, 0,25 mm) durchgeführt. Lösungsmittelsysteme: Benzol/Eisessig/Wasser 2:2:1 (obere Phase) (System A), Toluol/Äthylformiat/Ameisensäure 5:4:1 (System B), Benzol/Dioxan/Eisessig 90:25:4 (System C).

Lösungs- mittel- system	$R_F ext{-Werte}$								
	Substrat Aescu- letin	Authen- tisches Scopoleti	Produkt I n	Authen- tisches Isoscopo- letin	Pro- dukt II				
A	0,05	0,44	0,43	0,28	0,28				
В	0,35	0,59	0,59	0,53	0,53				
C	0.26	0,63	0,63	0,54	0,54				

berechneten und gefundenen Werten für die spezifische Aktivität (dpm/ $\mu$ mol) eine gute Übereinstimmung besteht und die spezifische Aktivität nach den

verschiedenen Kristallisationen konstant bleibt. Aus der Tabelle geht ebenfalls hervor, daß das Verfahren auf die Identifizierung der beiden Isomeren anwendbar ist, da bei Zusatz von Isoscopoletin zu I bzw. von Scopoletin zu II unter der Kristallisation die spezifische Aktivität schnell absinkt.

Die Anregungs- und Fluoreszenz-Spektren der authentischen Verbindungen sind in Abb. 1 wiedergegeben. Die Anregungs- und Fluoreszenzmaxima der enzymatisch entstandenen Methylierungsprodukte Scopoletin und Isoscopoletin stimmten mit denen der authenischen Substanzen überein.

Die COMT katalysiert also die Methylierung von Aesculetin zu Scopoletin und Isoscopoletin, wobei S-Adenosylmethionin als Methyldonator dient (Abb. 2).

Die Fluoreszenzintensität zeigte für Scopoletin ( $\lambda_A$ : 355 nm;  $\lambda_F$ : 440 nm) und Isoscopoletin ( $\lambda_A$ : 355 nm;  $\lambda_F$ : 445 nm) eine lineare Abhängigkeit

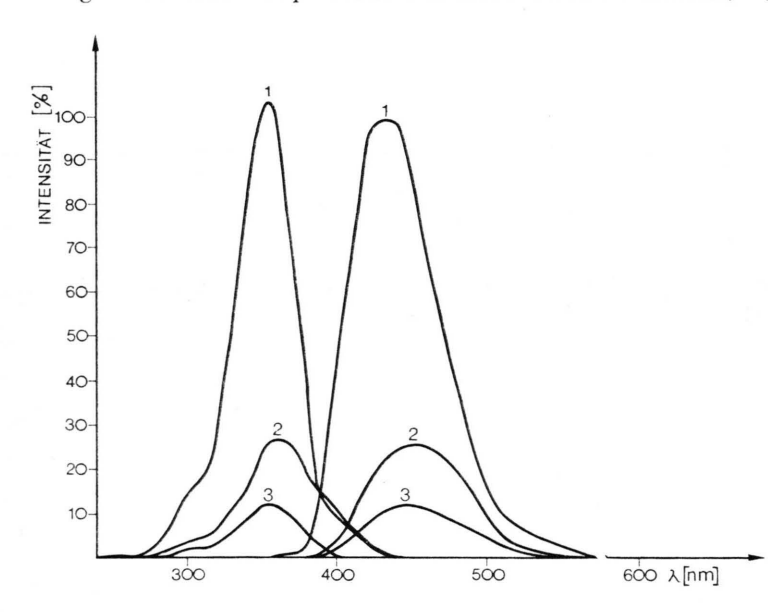


Abb. 1. Anregungs- und Fluoreszenzspektren von Scopoletin (1), Aesculetin (2) und Isoscopoletin (3). Baird-Atomic-Spectrophotofluorometer SF-100. Lösungen:  $10^{-5}\,\mathrm{M}$  in Äthanol

Scopoletin (1):  $\lambda_{\rm A} = 355$  nm,  $\lambda_{\rm F} = 440$  nm; Aesculetin (2):  $\lambda_{\rm A} = 360$  nm,  $\lambda_{\rm F} = 450$  nm; Isoscopoletin (3):  $\lambda_{\rm A} = 355$  nm,  $\lambda_{\rm F} = 445$  nm.

Die Wellenlängenangaben stellen unkorrigierte Instrumentenablesungen dar. Die relativen Fluoreszenzintensitäten betragen, bezogen auf die gleich 100 gesetzte Intensität der Scopoletin-Lösung, für Aesculetin 26,6% und für Isoscopoletin 12,5%. (Für eine  $10^{-5}$  M Metanephrin-hydrochlorid-Lösung in 0,1 N HCl ( $\lambda_{\Lambda}$  Y 285 nm,  $\lambda_{F}=330$  nm) beträgt die relative Fluoreszenzintensität 0,4%.)

Tab. II. Identifizierung der Methylierungsprodukte I und II mit Hilfe der umgekehrten Isotopenverdünnungstechnik. Einer definierten Menge <sup>14</sup>C-Aktivität wurde eine bestimmte Menge (s. u.) der authentischen, nicht markierten Verbindung zugesetzt. Außerdem wurde das Produkt I mit Isoscopoletin, das Produkt II mit Scopoletin versetzt. Die spezifische Aktivität (dpm/µmol) wurde berechnet und nach jeder Kristallisation aus dem Lösungsmittelgemisch Aceton/Petroläther im Tri-Carb-Szintillationszähler bestimmt.

14C-Methy-	Zugesetzter "Carrier"	Berechnet	Spez. Aktivität $[ ext{dpm}/\mu ext{mol}]$ Gefunden nach Kristallisation				
lierungs- produkt	"Carrier		1	2	3	4	5
I II I	13 mg Scopoletin 14 mg Isoscopoletin 14 mg Isoscopoletin 13 mg Scopoletin	1595 895 1480 960	1501 879 112 169	1421 870 90 63	1430 839 45 37	1434 827 24 18	1445 832 16 14

Abb. 2. Catechol-O-Methyltransferase aus Rattenleber katalysiert die Methylierung von Aesculetin (6.7-Dihydroxycumarin) zu Scopoletin (7-Hydroxy-6-methoxycumarin) und Isoscopoletin (6-Hydroxy-7-methoxycumarin). Methyldonator: S-Adenosylmethionin.

von der Substanzmenge im Bereich von  $10^{-5}$  bis  $10^{-7}$  mol/l, so daß eine fluorometrische Bestimmung in diesem Bereich möglich war. Unter den angewandten Versuchsbedingungen entstanden die beiden Isomeren (Scopoletin: Isoscopoletin) im Mittel im Mengenverhältnis von 2:1.

Die Hydroxylgruppe in Position 6 wird also bevorzugt methyliert. Aesculetin kann als innerer Ester der 3.4.6-Trihydroxyzimtsäure aufgefaßt werden. Die Hydroxylgruppen in Position 6 bzw. 7 des Aesculetins entsprechen somit den OH-Gruppen in Position 3 bzw. 4 der 3.4-Dihydroxyzimtsäure (Kaffeesäure). Aus Kaffeesäure entsteht durch die katalytische Wirksamkeit der COMT neben 3-Hydroxy-4-methoxyzimtsäure als Hauptmethylierungsprodukt 4-Hydroxy-3-methoxyzimtsäure <sup>8</sup>. Es erfolgt also auch hier eine bevorzugte Methylierung der Hydro-

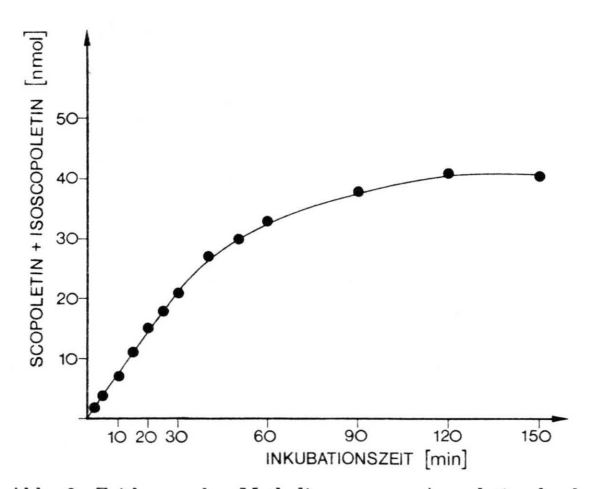


Abb. 3. Zeitkurve der Methylierung von Aesculetin durch die COMT-Präparation. In der Ordinate ist die Summe der gebildeten Mengen von Scopoletin und Isoscopoletin angegeben (Einzelheiten s. Text).

xylgruppe, die der OH-Gruppe in Position 6 des Aesculetins entspricht. In diesem Zusammenhang ist erwähnenswert, daß im Falle von 3.4-Dihydroxyphenyl-Verbindungen das Ausmaß der 3-O-Methylierung in Relation zur 4-O-Methylierung von der Struktur der Seitenkette des jeweiligen Substrats abhängig ist <sup>9</sup>.

Die Zeitkurve für die Methylierung von Aesculetin ist in Abb. 3 wiedergegeben. Unter den angegebenen Bedingungen verläuft die Reaktion linear in den ersten 20 min.

Die Abhängigkeit der Methylierungsrate von der Enzymmenge zeigt Abb. 4. Die Menge der methylierten Produkte (Scopoletin + Isoscopoletin) steigt in dem untersuchten Bereich mit der Enzymmenge linear an.

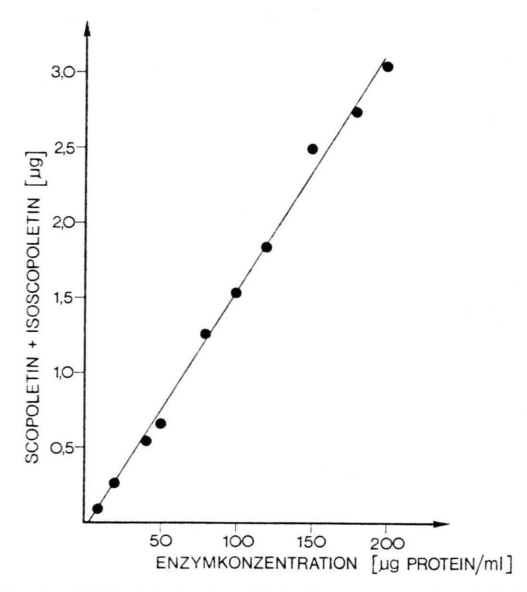


Abb. 4. Abhängigkeit der Methylierungsrate des Substrats von der Enzymkonzentration (ug Protein/ml). In der Ordinate ist die Summe der gebildeten Mengen von Scopoletin und Isoscopoletin angegeben (Einzelheiten s. Text).

Auch für die Ermittlung der Reaktionsgeschwindigkeiten in Abhängigkeit von der Substratkonzentration diente als Grundlage die fluorometrische Bestimmung der dünnschichtchromatographisch getrennten Methylierungsproduke Scopoletin und Isoscopoletin. Abb. 5 zeigt die Abhängigkeit der Reaktionsgeschwindigkeit von der Substratkonzentration in doppeltreziproker Auftragung nach Lineweaver und Burk. Der aus dem Schnittpunkt der Geraden mit der Abszisse ermittelte  $K_m$ -Wert beträgt

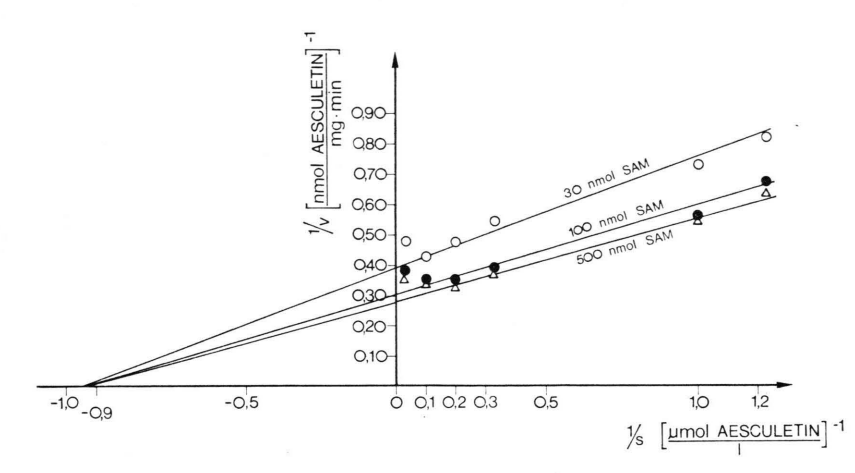


Abb. 5. Abhängigkeit der Geschwindigkeit der Methylierungsreaktion von der Substratkonzentration in Gegenwart verschiedener S-Adenosylmethionin-Konzentrationen: Doppelt reziproke Auftragung nach Lineweaver und Burk. Jeweils 0,2 ml der Enzympräparation (entsprechend 0,2 mg Protein) wurden mit steigenden Mengen Aesculetin und verschiedenen S-Adenosylmethionin-Konzentrationen inkubiert. ○, 30 nmol; ●, 100 nmol; △, 500 nmol S-Adenosylmethionin (SAM).

 $1 \times 10^{-6}$  mol/l. Verschieden hohe Konzentrationen von S-Adenosylmethionin beeinflussen die Geschwindigkeit der Reaktion, nicht jedoch den  $K_m$ -Wert für Aesculetin. Dieser Wert ist um 2 Zehnerpotenzen kleiner als der für Adrenalin als Substrat bestimmte

K<sub>m</sub>-Wert<sup>2</sup>. Das Enzym weist somit eine größere Affinität zu Aesculetin als zu Adrenalin auf.

Der Deutschen Forschungsgemeinschaft danken wir für eine Sachbeihilfe, Fräulein S. Hildenbrand sei für die gewissenschafte Mitarbeit gedankt.

<sup>1</sup> J. Axelrod, Science 126, 400 [1957].

<sup>2</sup> J. Axelrod u. R. Tomchick, J. Biol. Chem. 233, 702 [1958].

<sup>3</sup> P. J. Anderson u. A. D'Irio, Canadian J. Biochem. 44, 347 [1966].

<sup>4</sup> H. Thomas u. S. Roth, Hoppe-Seyler's Z. Physiol. Chem. 353, 138 [1972].

<sup>5</sup> H. Thomas, D. Müller-Enoch u. E. R. Lax, Hoppe-Seyler's Z. Physiol. Chem. 354, 1097 [1973].

<sup>6</sup> O. H. Lowry, N. J. Rosebrough, A. L. Farr u. R. J. Randall, J. Biol. Chem. 193, 265 [1951].

<sup>7</sup> L. R. Axelrod, Ch. Matthijssen, J. W. Goldzieher u. J. E. Pulliam, Acta Endocrinol. (Copenhagen), Suppl. 99 [1965].

<sup>8</sup> M. S. Masri, A. N. Booth u. F. DeEds, Biochim. Biophys. Acta 65, 495 [1962].

<sup>9</sup> C. R. Creveling, N. Dalgard, H. Shimizu u. J. W. Daly, Mol. Pharmacol. 6, 691 [1970].